

アフィン荷重の構造力学への応用に関する研究 (その4)  
(多径間連続桁の振動解析)

北海道大学工学部 ○ 学生員 小泉幹男  
北海道大学工学部 正員 渡辺昇  
北海道大学工学部 正員 金子孝吉

## 1. まえがき

本報告は多径間連続桁の自由振動解析に対し、剛性マトリクスを利用することによって、等断面で種々の境界をもつものに対する固有値、並びにモードを求め、さらに初期条件として荷重  $f(x)$  が与えられた時、その荷重をアフィン荷重展開をほどこすことによって、自由振動変位を求めようとするものである。

## 2. 桁の曲げ振動の微分方程式とその解

桁の曲げ振動の微分方程式は、d'Alembert の原理を用いると次式となる。

$$\text{一般式 } \frac{\partial^2}{\partial x^2} (EI \frac{\partial^2 W}{\partial x^2}) = -M \frac{\partial^2 W}{\partial x^2} \quad (1)$$

但し  $EI$  … 曲げ剛性  $M$  … 単位長さ当たりの質量

桁の長さに沿って曲げ剛性  $EI$  が変わらないとすれば、式(1)は次式となる。

$$EI \frac{\partial^2 W}{\partial x^2} = -M \frac{\partial^2 W}{\partial x^2} \quad (1')$$

ここで式(1')の解を変数分離されるとして、次式のようにおく。  $W(x, t) = X(x) \cdot T(t)$  (2)

$$\begin{aligned} T(t) &= \sin(\nu t + \epsilon) \\ X(x) &= A \cos \beta x + B \sin \beta x + C \cosh \beta x + D \sinh \beta x \end{aligned} \quad \left. \right\} \quad (3)$$

但し  $\nu$  … 円振動数  $\epsilon$  … 位相角

$$A \sim D \text{ … 積分定数 } \beta = \sqrt{\frac{M \nu^2}{EI}}$$

従って、式(1')の解は

$$W(x, t) = (A \cos \beta x + B \sin \beta x + C \cosh \beta x + D \sinh \beta x) \cdot \sin(\nu t + \epsilon) \quad (4)$$

## 3. 桁の曲げ振動の剛性マトリクスの説明

桁の断面における曲げモーメント  $M(x)$  とせん断力  $Q(x)$ 、並びにタワミ角  $\theta(x)$  は次のようになる。

$$M(x) = -EI \frac{d^2 X}{dx^2}, \quad Q(x) = -EI \frac{d^2 X}{dx^2}, \quad \theta(x) = \frac{dX}{dx} \quad (5)$$

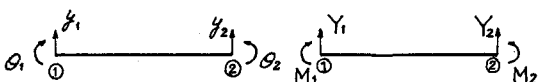
式(5)において  $x=0$ ,  $x=l$  を入れマトリクス表示し、さらに積分定数を消去し、符号に注意して剛性マトリクスを作成すると。

$$\begin{bmatrix} Q(0) \\ M(0) \\ Q(l) \\ M(l) \end{bmatrix} = \begin{bmatrix} K_{11} & K_{12} & K_{13} & K_{14} \\ K_{21} & K_{22} & K_{23} & K_{24} \\ \text{Sym.} & K_{33} & K_{34} \\ & K_{44} \end{bmatrix} \begin{bmatrix} X(0) \\ \theta(0) \\ X(l) \\ \theta(l) \end{bmatrix} \quad (6)$$

いま、(Fig.1)において、桁の左端  $x=0$  を①。

桁の右端  $x=l$  を②と番号をつけ、各々の鉛直変位。

タワミ角、鉛直外力、モーメントを  $\theta$ ,  $Y$ ,  $M$  とすると。



(Fig.1)

$$\begin{bmatrix} Y_1 \\ M_1 \\ Y_2 \\ M_2 \end{bmatrix} = \begin{bmatrix} K_{11} & K_{12} & K_{13} & K_{14} \\ K_{21} & K_{22} & K_{23} & K_{24} \\ \text{Sym.} & & K_{33} & K_{34} \\ & & K_{43} & K_{44} \end{bmatrix} \begin{bmatrix} \dot{y}_1 \\ \theta_1 \\ \dot{y}_2 \\ \theta_2 \end{bmatrix} \quad (7) \quad \begin{pmatrix} K_{23} = -K_{14} & K_{33} = K_{11} \\ K_{34} = -K_{12} & K_{44} = K_{22} \end{pmatrix}$$

剛性マトリクスの各要素は次のとおりである。

$$\begin{bmatrix} K_{11} = D(\sin\lambda \cosh\lambda + \cos\lambda \sinh\lambda) \\ K_{13} = -D(\sin\lambda + \sinh\lambda) \\ K_{22} = D(\sin\lambda \cosh\lambda - \cos\lambda \sinh\lambda)/\beta^2 \\ \text{但し } D = EI\beta^3/(1 - \cos\lambda \cdot \cosh\lambda), \lambda = \beta l \end{bmatrix} \quad \begin{bmatrix} K_{12} = -D \sin\lambda \sinh\lambda/\beta \\ K_{44} = D(\cosh\lambda - \coth\lambda)/\beta \\ K_{34} = -D(\sin\lambda - \sinh\lambda)/\beta^2 \end{bmatrix}$$

#### 4. 柔の曲げ振動の積分定数マトリクスの説明

式(3)から 次のようにマトリクス表示できる。

$$\begin{bmatrix} (X)_{z=0} \\ (\frac{dX}{dz})_{z=0} \\ (X)_{z=l} \\ (\frac{dX}{dz})_{z=l} \end{bmatrix} = \begin{bmatrix} 1 & 0 & 1 & 0 \\ 0 & \beta & 0 & \beta \\ \cos\lambda & \sin\lambda & \cosh\lambda & \sinh\lambda \\ -\beta\sin\lambda & \beta\cos\lambda & \beta\sinh\lambda & \beta\cosh\lambda \end{bmatrix} \begin{bmatrix} A \\ B \\ C \\ D \end{bmatrix} \quad (8)$$

式(8)を符号に注意して、次式のようす形に整理する。

$$\begin{bmatrix} A \\ B \\ C \\ D \end{bmatrix} = \begin{bmatrix} R_{11} & R_{12} & R_{13} & R_{14} \\ R_{21} & R_{22} & R_{23} & R_{24} \\ R_{31} & R_{32} & R_{33} & R_{34} \\ R_{41} & R_{42} & R_{43} & R_{44} \end{bmatrix} \begin{bmatrix} \dot{y}_1 \\ \theta_1 \\ \dot{y}_2 \\ \theta_2 \end{bmatrix} \quad (9)$$

この積分定数マトリクスの各要素は次のとおりである。

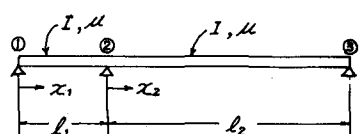
$$\begin{bmatrix} R_{11} = -G(1 + \sin\lambda \sinh\lambda - \cos\lambda \cosh\lambda) \\ R_{13} = -G(\cos\lambda - \cosh\lambda) \\ R_{21} = G(\sin\lambda \cosh\lambda + \cos\lambda \sinh\lambda) \\ R_{23} = -G(\sin\lambda + \sinh\lambda) \\ R_{31} = -G(1 - \sin\lambda \sinh\lambda - \cos\lambda \cosh\lambda) \\ R_{33} = G(\cos\lambda - \cosh\lambda) \\ R_{41} = -G(\sin\lambda \cosh\lambda + \cos\lambda \sinh\lambda) \\ R_{43} = G(\sin\lambda + \sinh\lambda) \\ R_{12} = G(\sin\lambda \cosh\lambda - \cos\lambda \sinh\lambda)/\beta \\ R_{22} = -G(\sin\lambda - \sinh\lambda)/\beta \\ R_{32} = G(1 + \sin\lambda \sinh\lambda - \cos\lambda \cosh\lambda)/\beta \\ R_{42} = G(\cos\lambda - \cosh\lambda)/\beta \\ R_{14} = -G(\sin\lambda \cosh\lambda - \cos\lambda \sinh\lambda)/\beta \\ R_{34} = -G(\sin\lambda - \sinh\lambda)/\beta \\ R_{44} = G(1 + \sin\lambda \sinh\lambda + \cos\lambda \cosh\lambda)/\beta \\ R_{24} = -G(\cos\lambda - \cosh\lambda)/\beta \end{bmatrix}$$

#### 5. 固有振動方程式

いま、ここでかんたん計算例として(Fig.2)のような2径間連続軸を採用してみる。

$$\left. \begin{array}{l} \beta_1^2 = \frac{44Y}{EI} \quad \lambda_1 = \beta_1 l_1 \\ \beta_2^2 = \frac{44Y}{EI} \quad \lambda_2 = \beta_2 l_2 \end{array} \right\} \quad (10)$$

境界条件として  $\dot{y}_1 = \dot{y}_2 = \dot{y}_3 = 0, M_1 = M_2 = M_3 = 0$  であるので



(Fig.2)

式(7)より次式をうる。

$$\begin{array}{|c|} \hline Y_1 \\ \hline 0 \\ \hline Y_2 \\ \hline 0 \\ \hline Y_3 \\ \hline 0 \\ \hline \end{array} = \begin{array}{|c|c|c|c|c|c|} \hline K_{11}^1 & K_{12}^1 & K_{13}^1 & K_{14}^1 & 0 & 0 \\ \hline K_{21}^1 & K_{22}^1 & K_{23}^1 & K_{24}^1 & 0 & 0 \\ \hline K_{31}^1 & K_{32}^1 & K_{33}^1 + K_{11}^2 & K_{34}^1 + K_{12}^2 & K_{13}^2 & K_{14}^2 \\ \hline K_{41}^1 & K_{42}^1 & K_{43}^1 + K_{21}^2 & K_{44}^1 + K_{22}^2 & K_{23}^2 & K_{24}^2 \\ \hline 0 & 0 & K_{31}^2 & K_{32}^2 & K_{33}^2 & K_{34}^2 \\ \hline 0 & 0 & K_{41}^2 & K_{42}^2 & K_{43}^2 & K_{44}^2 \\ \hline \end{array} \begin{array}{|c|} \hline 0 \\ \hline \theta_1 \\ \hline 0 \\ \hline \theta_2 \\ \hline 0 \\ \hline \theta_3 \\ \hline \end{array} \quad (11)$$

これを0要素を集め、整理して分割マトリクス化することから、次式がえられる。

$$\begin{array}{|c|} \hline 0 \\ \hline 0 \\ \hline 0 \\ \hline \end{array} = \begin{array}{|c|c|c|c|c|} \hline K_{22}^1 & K_{24}^1 & 0 & 0 & \theta_1 \\ \hline K_{42}^1 & K_{44}^1 + K_{22}^2 & K_{24}^2 & 0 & \theta_2 \\ \hline 0 & K_{42}^2 & K_{44}^2 & 0 & \theta_3 \\ \hline \end{array} \quad (12)$$

この式が成り立つには、右辺の3行3列の正方マトリクスの行列式の値が0となることである。

$$\begin{array}{|c|c|c|c|c|} \hline K_{22}^1 & K_{24}^1 & 0 & | & 0 \\ \hline K_{42}^1 & K_{44}^1 + K_{22}^2 & K_{24}^2 & | & \theta_2 \\ \hline 0 & K_{42}^2 & K_{44}^2 & | & \theta_3 \\ \hline \end{array} = 0 \quad (13)$$

この式が“固有振動数方程式”である。

## 6. 固有振動モード関数

式(12)において、 $\theta_1 = C_0$  において  $C_0$  をあたかも既知の定数と考えると、 $\theta_2, \theta_3$  が求められる。

また、オ1径間の積分定数を  $A_1 \sim D_1$  とし、オ2径間の積分定数を  $A_2 \sim D_2$  とすると、“積分定数マトリクス”を用いて、

$$\begin{array}{|c|} \hline A_1 \\ \hline B_1 \\ \hline C_1 \\ \hline D_1 \\ \hline \end{array} = \begin{array}{|c|c|c|c|c|} \hline R_{11}^1 & R_{12}^1 & R_{13}^1 & R_{14}^1 & \begin{array}{l} Y_1 = 0 \\ \theta_1 = C_0 \end{array} \\ \hline R_{21}^1 & R_{22}^1 & R_{23}^1 & R_{24}^1 & \theta_2 = 0 \\ \hline R_{31}^1 & R_{32}^1 & R_{33}^1 & R_{34}^1 & \theta_3 = 0 \\ \hline R_{41}^1 & R_{42}^1 & R_{43}^1 & R_{44}^1 & \theta_2 \\ \hline \end{array} \quad (14)$$

$$\begin{array}{|c|} \hline A_2 \\ \hline B_2 \\ \hline C_2 \\ \hline D_2 \\ \hline \end{array} = \begin{array}{|c|c|c|c|c|} \hline R_{11}^2 & R_{12}^2 & R_{13}^2 & R_{14}^2 & \begin{array}{l} Y_2 = 0 \\ \theta_2 = 0 \end{array} \\ \hline R_{21}^2 & R_{22}^2 & R_{23}^2 & R_{24}^2 & \theta_3 \\ \hline R_{31}^2 & R_{32}^2 & R_{33}^2 & R_{34}^2 & \theta_3 = 0 \\ \hline R_{41}^2 & R_{42}^2 & R_{43}^2 & R_{44}^2 & \theta_3 \\ \hline \end{array} \quad (15)$$

よって、すべての積分定数が  $C_0$  を含む形で求まり、式(3)より各径間の固有振動モード関数は次式となる。

$$\left. \begin{array}{l} -X_1(X_1) = A_1 \cos \beta_1 X_1 + B_1 \sin \beta_1 X_1 + C_1 \cosh \beta_1 X_1 + D_1 \sinh \beta_1 X_1 \\ -X_2(X_2) = A_2 \cos \beta_2 X_2 + B_2 \sin \beta_2 X_2 + C_2 \cosh \beta_2 X_2 + D_2 \sinh \beta_2 X_2 \end{array} \right\} \quad (16)$$

## 7. 自由振動変位の決定

最も一般的な自由振動の表現は、各モードの振動を適当な振幅と位相をもって重ね合せた次式となる。

$$W(x, t) = \sum_{n=1}^{\infty} a_n X_n(x) \sin(\nu_n t + \epsilon_n) \quad (17)$$

但し  $\nu_n$  ……  $n$  次モードの固有円振動数  $\epsilon_n$  ……  $n$  次モードの位相角

$X_n(x)$  ……  $n$  次の固有振動モード関数

オ1径間にについて、次のように表わされる。

$$W_r(x_r, t) = \sum_{n=1}^{\infty} a_n X_n(x_r) \sin(\nu_n t + \epsilon_n) \quad (17')$$

なお、式(13)の固有振動数方程式から求められる、固有値  $\lambda_m$  に対応する固有円振動数  $\nu_m$  は、

$$\nu_m = \frac{\lambda_m^{1/2}}{2\pi} \sqrt{\frac{EI}{m}} \quad (18)$$

また オ  $n$  次の固有振動周期  $T_n$  は

$$T_n = 2\pi/\nu_n = \frac{2\pi l_r^2}{\lambda_m^{1/2}} \sqrt{\frac{m}{EI}} \quad (19)$$

初期条件  $t=0$  にて荷重  $P(x)$  が作用し、初速度  $(\frac{dW}{dt})_{t=0} = 0$  で振動させる場合の自由振動変位を求める。  
ここで、荷重  $P(x)$  を境界条件を満足する棒のタワミ曲線に相似な分布荷重に展開すると考えるアフィン荷重展開をほどこす。

### (7-1) アフィン荷重展開

棒の曲げタワミに関する微分方程式は  $EI \frac{d^4w}{dx^4} = P(x)$  であり、 $P(x) = k^4 w(x)$  とすると次式のような解がえられる。

$$w(x) = A \cos mx + B \sin mx + C \cosh mx + D \sinh mx \quad (20)$$

但し、 $m^4 = k^4/EI$ 、係数  $A \sim D$  は境界条件によって固有値がえられ、各々に対し直交関係を満たしているので、荷重  $P(x)$  がえられると決定できる。

オイリオ径間においては

$$\text{タワミ } W_r(x_r) = \sum_{n=1}^{\infty} a_n \bar{X}_n(x_r) \quad (21) \quad \text{荷重 } P_r(x_r) = \sum_{n=1}^{\infty} g_n \bar{X}_n(x_r) \quad (22)$$

故に、微分方程式に上式を代入することによって次式がえられる。

$$a_n = \frac{g_n}{EI_r m_n^4} \quad (23)$$

また、

$$g_n = \left. \int_0^L P(x) \bar{X}_n(x) dx \right/ \left. \int_0^L \{ \bar{X}_n(x) \}^2 dx \right\}$$

### (7-2) 初期条件 $(W)_{t=0} = f(x)$ , $(\frac{dW}{dt})_{t=0} = 0$ の時の自由振動変位

上述したように、荷重  $P(x)$  が作用した時のタワミ  $f(x)$  とすると  $f(x) = \sum_{n=1}^{\infty} a_n \bar{X}_n(x)$  とおくことができる。

ここで 式(17)より この場合は  $X_n(x) = \bar{X}_n(x)$  であるので

$$\left. \begin{aligned} \sum_{n=1}^{\infty} a_n \sin \omega_n t \bar{X}_n(x) &= f(x) = \sum_{n=1}^{\infty} a_n \bar{X}_n(x) \\ \sum_{n=1}^{\infty} a_n n \omega_n \cos \omega_n t \bar{X}_n(x) &= 0 \end{aligned} \right\} \quad (24)$$

従って  $a_n = \alpha_n$ ,  $\omega_n = \frac{\pi}{L}$  としてより一般性を失はない。

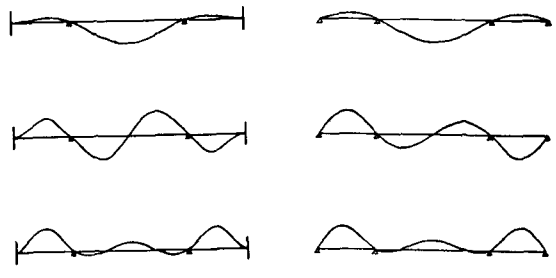
故に オイリオ径間においては 式(17')より

$$W_r(x_r, t) = \sum_{n=1}^{\infty} \alpha_n X_n(x_r) \sin (\omega_n t + \frac{\pi}{2}) \quad (25)$$

## 8. 数値計算例

(Fig. 3, 4) は、3 径間連続析の固有振動モードを示している。

なお、種々の境界条件をもつ多径間連続析の自由振動については、当日発表予定である。



## 9. あとがき

以上の様に、初期条件として荷重が与えられるだけで、種々の境界条件をもつ多径間連続析の固有値、固有振動モード並びに自由振動変位が、単にマトリクス演算を行なうことと、順次容易に求めることができます。

(Fig. 3)

(Fig. 4)